

РАССЕНИЕ КИЛОВОЛЬТНЫХ НЕЙТРОНОВ СВИНЦОМ И ЭЛЕКТРИЧЕСКАЯ ПОЛЯРИЗУЕМОСТЬ НЕЙТРОНА

Д.А.Александров, Г.С.Самосват, Ж.Сарээтэр, Цой Гэн Сор

Экспериментальное определение коэффициентов поляризуемости нуклонов дает очень полезную информацию, связанную с их внутренней структурой. В работе Гольданского и др. [1] получено значение коэффициента электрической поляризуемости протона $\alpha_p = (0,9 \pm 0,4) \times 10^{-42} \text{ см}^3$. Измерение соответствующей величины α_n для нейтрона до сих пор не сделано. Трудности, возникавшие на этом пути, настолько значительны, что пока речь может идти лишь об ее экспериментальных оценках. Такие оценки делались в ряде работ [2-6]. До недавнего времени наилучшей была оценка $\alpha_n < 20 \cdot 10^{-42} \text{ см}^3$ [4], полученная в результате анализа данных по рассеянию нейтронов с энергиями выше 50 кэв. В работе Александрова и др. [6] были проведены предварительные результаты по рассеянию на свинце при более низких энергиях нейтронов до 7,5 кэв. Они указывали на возможность существенно снизить оценку, полученную в работе Талера [4]. В настоящей заметке приводятся результаты аналогичных более тщательных опытов.

В процессе рассеяния электрическая поляризуемость может проявляться в том, что к чисто ядерному взаимодействию добавляется взаимодействие наведенного у нейтрона электрического дипольного момента $\vec{p} = \alpha_n \vec{E}$ с кулоновским полем ядра \vec{E} . Это взаимодействие описывается потенциалом вида $\alpha_n Z^2 e^2 / 2r^4$, где Z - атомный номер ядра, e - заряд электрона. Амплитуда соответствующего "поляризационного" рассеяния, рассчитанная в борновском приближении [7], при разумных значениях α_n оказывается много меньше ядерной, и на опыте ищется эффект интерференции "поляризационного" рассеяния с ядерным потенциальным рассеянием.

Если представить дифференциальное сечение рассеяния в виде

$$\sigma(v) = \frac{\sigma_0}{4\pi} \left[1 + \sum_{\ell=1}^{\infty} \omega_\ell P_\ell(\cos v) \right], \quad (1)$$

где σ_0 - полное сечение потенциального рассеяния, и воспользоваться известным приближенным соотношением для фаз рассеяния на короткодействующем потенциале ядра

$$\delta_\ell \sim (kR)^{2\ell+1},$$

где k - волновое число нейтрона, а R - радиус ядра, то можно легко убедиться, что в случае чисто ядерного взаимодействия коэффициент ω_ℓ оказывается линейной функцией энергии нейтрона E . При учете интерференции ядерного рассеяния с "поляризационным" в ω_ℓ появляется член, пропорциональный k , так что

$$\omega_\ell = aE + bE^{1/2}, \quad (2)$$

а для константы b получается следующее выражение:

$$b \approx -2,5 \cdot 10^{-4} \frac{m^{3/2} e^2}{\hbar^3} \frac{\alpha_n Z^2}{\sigma_0^{1/2}}, \quad (3)$$

если энергию E в (2) выражать в килозлектронвольтах (m - масса нейтрона). Знак минус в выражении (3) отражает собой факт, что реальная часть амплитуды ядерного рассеяния в рассматриваемом случае отрицательна.

Такой анализ был проведен для рассеяния нейтронов с энергиями в диапазоне 50–300 кэв на ядрах урана и привел к указанной выше оценке ω_n [4]. В настоящей работе в качестве рассеивателя был выбран свинец, который удобен тем, что в изученной области энергий до 26 кэв он не имеет сильных нейтронных резонансов, и это предохраняет от неопределенности анализа, связанной с пренебрежением роли резонансов. Выбранная область энергий также более удобна, поскольку в ней нелинейная зависимость ω_ℓ от E (формула (2)) сказывается намного заметнее.

Измерения были выполнены на импульсном реакторе Объединенного института ядерных исследований [9] методом времени пролета на базе

250 м с энергетическим разрешением, меняющимся от 20% при 1 кэв до 100% при 26 кэв. Значение эффективной энергии в каждой точке находилось путем численного интегрирования с учетом функции разрешения, спектра нейтронов и энергетической чувствительности детекторов. В качестве детекторов использовались пропорциональные борные счетчики типа СНМО-5 в количестве 180 шт. Интенсивность нейтронов, рассеиваемых полым свинцовым цилиндром диаметром 10 см с толщиной стенки 1 см, измерялась одновременно при всех энергиях и 9 значениях угла рассеяния от 30° до 150°.

Полученные угловые распределения, предварительно нормированные на распределение со средней энергией $E_0 \approx 0,25$ кэв, аппроксимировались по формуле

$$y(\vartheta) = c(1 + \omega_1 \cos \vartheta),$$

поскольку в нашем случае члены более высокого порядка по $\cos \vartheta$ в разложении (1) несущественны. Вычисленные значения ω_1 для II энер-

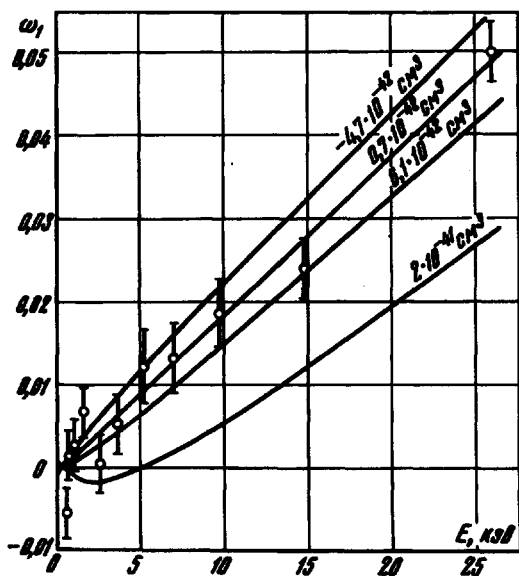


Рис. I. Коэффициенты ω_1 для разных энергий нейтронов

гий нейтронов представлены на рис. I. Указанные ошибки – статистические. Кривые рассчитаны по формуле (4) при фиксированном $\alpha = 1,91 \cdot 10^{-3}$ и указанных значениях ω_n .

Дальнейшая обработка результатов состояла в представлении ω_1 в виде

$$\omega_1 = a(E - E_0) + b(E^{1/2} - E_0^{1/2}) \quad (4)$$

и определении коэффициентов a и b . Расчеты методом наименьших квадратов (который применялся также и при определении ω_1) дали следующий результат: $a = (1,91 \pm 0,42) \cdot 10^{-3}$, $b = (-0,07 \pm 1,96) \cdot 10^{-3}$, откуда по формуле (3) имеем для α_n :

$$\alpha_n = (0,3 \pm 9,2) \cdot 10^{-42} \text{ см}^3.$$

Более точная оценка поляризуемости получается при совместной обработке наших данных и данных Лангдорфа и др., опубликованных в [8], по рассеянию на свинце в интервале 50–160 кэВ. Такая обработка дает $a = (1,92 \pm 0,20) \cdot 10^{-3}$ и $b = (-0,15 \pm 1,16) \cdot 10^{-3}$, откуда $\alpha_n = (0,7 \pm 5,4) \cdot 10^{-42} \text{ см}^3$ (см. рис. 2).

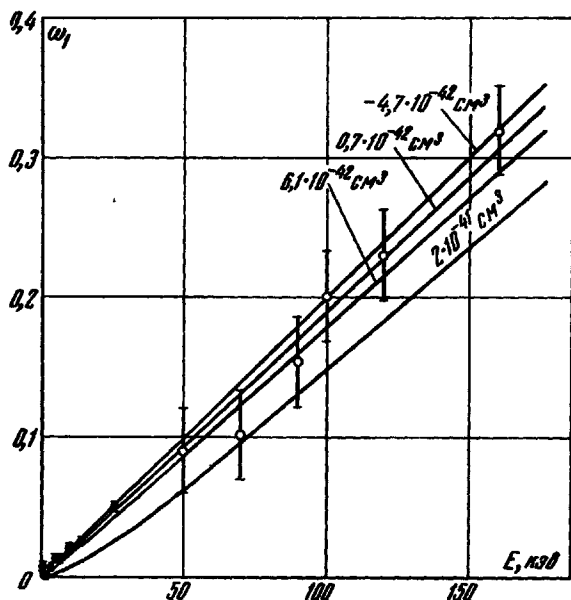


Рис. 2. То же, что и рис. 1.
○ – данные, полученные из работы Гольдберга и др. [6],
● – наши данные

Таким образом, можно утверждать, что с вероятностью ~68% величина α_n лежит в пределах:

$$-4,7 \cdot 10^{-42} \text{ см}^3 < \alpha_n < 6,1 \cdot 10^{-42} \text{ см}^3,$$

которые по порядку величины близки к теоретически ожидаемой величине $(1 \pm 2) \cdot 10^{-42} \text{ см}^3$ (ссылки на литературу указаны в препринте [6]).

Авторы благодарят Ф.Л.Шапиро за внимание к работе и полезные обсуждения, а также А.А.Лонкареву за помощь в измерениях.

Объединенный институт
ядерных исследований

Поступило в редакцию
10 июня 1966 г.

Литература

- [1] В.И.Гольданский, О.А.Карпухин, А.В.Куденко, В.В.Павловская. ЖЭТФ, 38, 1965, 1960.
- [2] Д.А.Александров. ЖЭТФ, 33, 294, 1957.
- [3] M.Walt, D.B.Fossan. Phys. Rev., 137B, 629, 1965.
- [4] R.M.Thaler. Phys. Rev., 114, 827, 1959.
- [5] A.J.Elwyn, J.E.Monahan, R.O.Lane, A.Langsdorf, Jr., F.P.Mooring. Phys. Rev., 142, 758, 1966.
- [6] Д.А.Александров, Д.Дорчоман, К.Сареетар, Г.С.Самосват, Цой Ген Сор. Программа и тезисы докл. XV съезда. совещ. по ядерн. спектроскопии и структуре атомного ядра. Минск, 25 января - 2 февраля 1965 г., стр. 83; Д.А.Александров, Г.С.Самосват. Препринт ОИЯИ, Р-2495, Дубна, 1965.
- [7] В.С.Бараненков, И.П.Стаханов, Д.А.Александров. ЖЭТФ, 32, 154, 1957.
- [8] M.D.Goldberg, V.M.May, J.R.Stehn. BNL-400, second edition, v. 21, 1962.
- [9] Б.Н.Бунин, И.М.Матора, С.К.Николаев, Л.Б.Пикельнер, И.М.Франк, Е.П.Набалин, Ф.Л.Шапиро, Д.С.Язвицкий. Докл. на III Междунар. конф. ООН по использ. атомной энергии в мирных целях, 28/P/324, 1964.